

Электронная структура нового сверхпроводника $MgCNi_3$ и родственных интерметаллидов

И. Р. Шеин¹⁾, А. Л. Ивановский, Н. И. Медведева

Институт химии твердого тела Уральского отделения РАН, 620219 Екатеринбург, Россия

Поступила в редакцию 13 июня 2001 г.

Самосогласованным методом FP-LMTO изучена зонная структура нового перовскитоподобного сверхпроводника $MgCNi_3$. Сверхпроводящие свойства $MgCNi_3$ связаны с наличием интенсивного пика плотности $Ni3d$ -состояний вблизи уровня Ферми. Отсутствие сверхпроводимости для нестехиометрических составов $MgC_{1-x}Ni_3$ обусловлено переходом системы в магнитное состояние. Обсуждены возможности обнаружения сверхпроводимости для изоструктурных $MgCNi_3$ интерметаллидов $ScBNi_3$, $InBNi_3$, $MgCCo_3$ и $MgCCu_3$.

PACS: 71.20.Cf, 71.45.Nt, 71.90+q

Открытие сверхпроводящего перехода ($T_c \approx 39$ К) для интерметаллида MgB_2 [1] стимулировало широкий поиск новых сверхпроводников (СП) среди родственных объектов, который сейчас проводится по трем основным направлениям. В рамках первого стремятся расширить класс СП на основе MgB_2 путем его допирования или созданием сверхструктур [2]. Второе охватывает более широкий набор систем: поиск СП кандидатов ведется среди бинарных или многокомпонентных фаз, обладающих структурными или химическими “элементами подобия” с MgB_2 . В результате найдены критические переходы в ZrB_2 (5.5 К [3]), TaB_2 (9.5 К [4]), Re_3B (4.7 К [5]), новой фазе борида бериллия (0.72 К, состав $BeB_{2.75}$ элементарная ячейка содержит 110.5 атомов [6]).

Развитие третьего направления инициировано обнаружением [7] сверхпроводимости в тройном интерметаллиде – перовскитоподобном $MgCNi_3$ ($T_c \approx 8$ К). Несколько обстоятельств придают результату [7] особый интерес.

1. Высокосимметричная структура $MgCNi_3$ (пространственная группа $Pm\bar{3}m$) является благоприятным фактором для сверхпроводимости. Однако все известные до сих пор СП перовскиты содержат атомы кислорода в позициях типа $3c$ ($0; 1/2; 1/2$), электронно-дырочным состояниям которых принадлежит основная роль в формировании сверхпроводимости [8]. Для $MgCNi_3$ в указанных позициях находятся атомы Ni, то есть механизм СП должен иметь принципиально иную природу.

2. Большинство известных “не-оксидных” перовскитоподобных фаз MXM'_3 (так называемые антиперовскиты, где $M = Zn, Al, Ga, In, Sn$; $M' = Mn, Fe$;

$X = C, N$) проявляют ферро-, антиферромагнитные свойства либо имеют более сложные (смешанные) типы спинового упорядочения [9]. Следовательно, в ряду структурных аналогов $MgCNi_3$ можно рассматривать как фазу, “пограничную” между классами перовскитоподобных СП (оксиды) и магнетиков (бескислородные перовскиты).

3. Наиболее близкими химическими аналогами $MgCNi_3$ являются сверхпроводящие борокарбиды интерметаллидов (БКИ) общего состава LnM_2B_2C . В них число входят и никель-содержащие фазы $LuNi_2B_2C$ ($T_c \approx 16$ К), YNi_2B_2C ($T_c \approx 15.6$ К). Однако, в отличие от $MgCNi_3$, БКИ: i) являются магнитными сверхпроводниками, ii) имеют квазидвумерную структуру, составленную слоями $(Lu, Y)C$ и тетраэдром NiB_4 [10], iii) содержание Ni (магнитного металла) в БКИ гораздо меньше (35.6–48.9 ат. %), чем в $MgCNi_3$ (82.9 ат. %).

Первые исследования некоторых свойств $MgCNi_3$ – критического поля (H_{c2}), коэффициента Холла, других электрофизических характеристик [11–14] позволили отнести $MgCNi_3$ к “обычным” сверхпроводникам II рода с электрон-фононным типом взаимодействий. В этом случае критическая температура может быть оценена из формулы Мак-Миллана: $T_c \approx \langle \omega \rangle \exp\{f(\lambda)\}$, где $\langle \omega \rangle$ – усредненная фононная частота, λ – константа электрон-фононного взаимодействия: $\lambda \sim N(E_F)\langle I^2 \rangle$, где $N(E_F)$ – плотность состояний на уровне Ферми. Отсюда, важнейшую роль при интерпретации сверхпроводящих (и ряда других) свойств $MgCNi_3$, как и при поиске возможных СП аналогов, имеют сведения о зонной структуре.

В сообщении мы приводим результаты исследований зонной структуры нового СП $MgCNi_3$, обсуж-

¹⁾e-mail: irshein@mail.ru

Полные, орбитальные плотности состояний на уровне Ферми ($N(E_F)$, $N_l(E_F)$, 1/эВ) для MgCNi_3 и родственных интерметаллидов

Фаза MXM'_3	$N(E_F)$ полная	$N_l(E_F)$ орбитальные						
		M_s	M_p	M_d	X_s	X_p	M'_s	M'_p
MgCNi_3	4.57	0.00	0.12	0.02	0.01	0.23	0.07	0.09
MgNi_3	2.38	0.04	0.04	0.04	0.02	0.00	0.02	0.06
MgCCo_3	2.41	0.01	0.01	0.03	0.00	0.01	0.00	0.01
MgCCu_3	0.38	0.04	0.06	0.03	0.00	0.03	0.02	0.04
ScBNi_3	2.59	0.00	0.11	0.20	0.00	0.11	0.05	0.09
InBNi_3	1.47	0.01	0.06	0.01	0.01	0.08	0.02	0.05

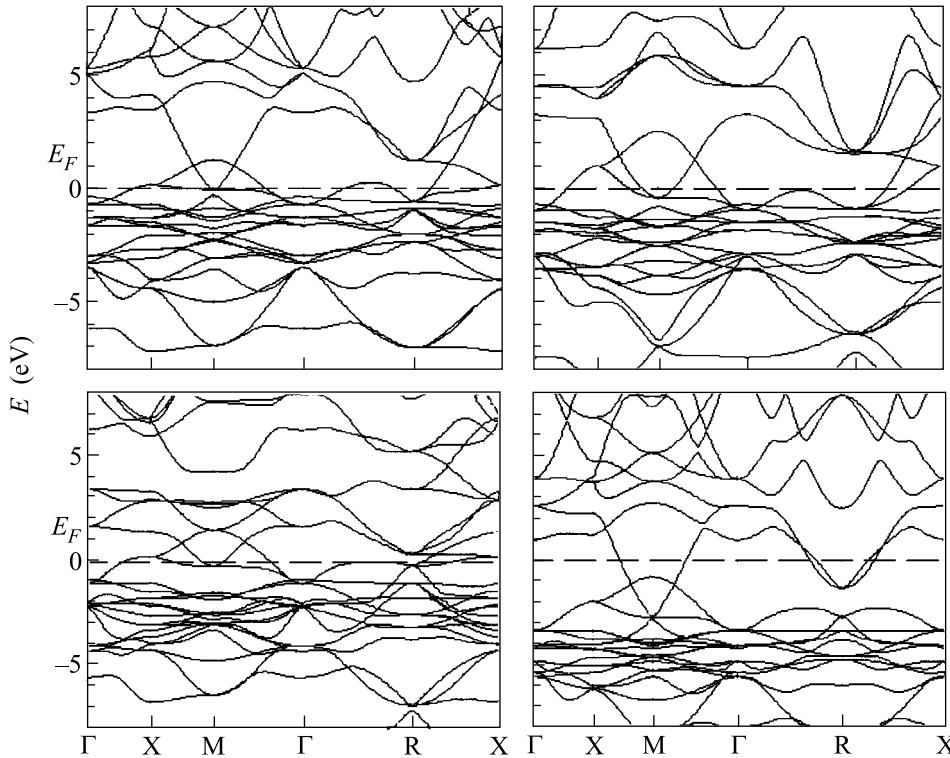


Рис.1. Энергетические зоны: 1 – MgCNi_3 , 2 – InBNi_3 , 3 – ScBNi_3 , 4 – MgCCu_3

даем влияние на его электронные свойства наличия С-вакансий (нестехиометрия по углероду) и анализируем особенности электронных и магнитных состояний в ряду родственных первоскитоподобных сплавов (ScBNi_3 , InBNi_3 , MgBCo_3 и MgCCu_3) как вероятных сверхпроводников. В расчетах использован самосогласованный спин-поляризованный полно-потенциальный метод линейных *muffin-tin* орбиталей (FP-LMTO) [15] в рамках приближения локальной (спиновой) плотности (LDA) с учетом релятивистических эффектов по схеме [16] и с обменно-корреляционным потенциалом, предложенным в работе [17].

В структуре MgCNi_3 атомы занимают позиции: 3Ni ($0; 1/2; 1/2$), Mg ($0; 0; 0$), C ($1/2; 1/2; 1/2$), их ко-

ординационными полиэдрами (КП) являются: для Ni и C – октаэдры $[\text{NiC}_2\text{Mg}_4]$ и $[\text{CNi}_6]$, для магния – кубооктаэдр $[\text{MgNi}_{12}]$. Минимизацией полной энергии был определен теоретический равновесный параметр решетки MgCNi_3 (3.721 \AA), который хорошо согласуется с экспериментом: 3.8066 \AA (для состава $\text{MgC}_{0.96}\text{Ni}_3$ $T = 0 \text{ K}$) [18].

Результаты расчета MgCNi_3 приведены на рис.1–4 и в таблице. Важнейшей особенностью спектра MgCNi_3 является наличие интенсивного пика плотности состояний (ПС) вблизи E_F , связанного с квазиплоскими π -антисвязывающими $\text{Ni}3d$ -зонами (в направлениях X-М и М-Г зоны Бриллюэна), рис.1. E_F расположен на высокоэнергетическом

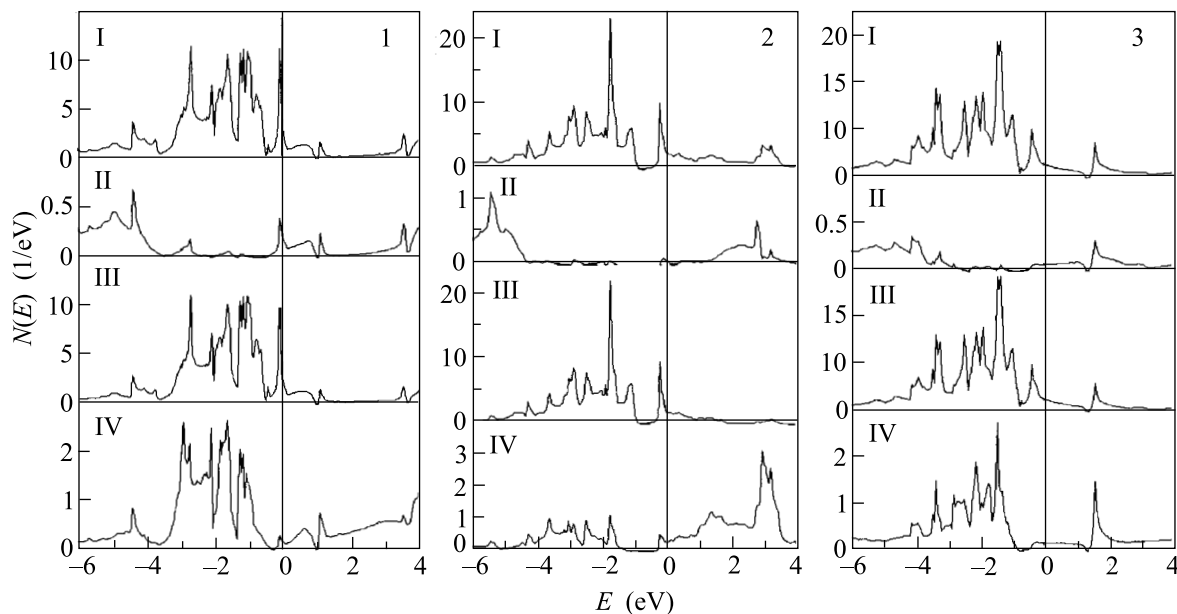


Рис.2. Полные (I) и атомные парциальные плотности состояний: 1 – $MgCNi_3$, 2 – $ScBNi_3$, 3 – $InBNi_3$. Приведены распределения: II – C, B; III – Ni; IV – Mg, Sc, In

склоне данного пика. Величина $N(E_F)$ составляет 4.57 сост./эВ, что хорошо согласуется с результатом полно-потенциального FLAPW расчета [19]: 4.99 сост./эВ. Разложение $N(E_F)$ на орбитальные составляющие ($N_l(E_F)$) показывает (см. таблицу), что максимальный вклад в $N(E_F)$ (4.04 сост./эВ, или 88.2%) обусловлен Ni3d-состояниями. Вклады в $N(E_F)$ C2s, p- и Mg3s, p, d-состояний равны 0.23 (5.08%) и 0.14 сост./эВ (3.03%), соответственно. Параметр Стонера $S = N(E_F)I_{ex}$ (I_{ex} – обменный интеграл) составляет ≈ 0.55 , магнитные моменты на атомах отсутствуют. Верхняя из двух антисвязывающих Ni3d-зон, имеющая более выраженную дисперсию, обуславливает поверхность Ферми (рис.3) электронного типа в форме сфероидов около точки Г и небольших листов вдоль границ и углов зоны Бриллюэна (ЗБ). Более плоская Ni3d-зона образует особенности лепесткового типа на гранях ЗБ с центром в точке X и сигарообразные фигуры вдоль направления Г-Р.

Для сравнения отдельных связей в рамках зонного метода сильной связи вычислены заселенности перекрывания кристаллических орбиталей (ЗПКО) $MgCNi_3$ и $ScBNi_3$. Соответствующие величины составили для $MgCNi_3$: 0.298 (Ni–C), 0.027 (Ni–Ni) и 0.039 е/связь (Ni–Mg). Таким образом, основу межатомных взаимодействий в $MgCNi_3$ составляют связи Ni–C (в КП [CNi_6], рис.4). Связывание C–Mg пре-небрежимо мало (0.002 е/связь). Для $ScBNi_3$ эти же

величины составили: 0.338 (Sc–B), 0.050 (Ni–Ni), 0.033 (Ni–Sc) и 0.005 е/связь (B–Sc). Эти результаты позволяют объяснить данные [13] по изучению температурной зависимости факторов Дебая–Уоллера (ФДУ) атомов в $MgCNi_3$. Минимальный (изотропный) температурный фактор углерода соответствует его наиболее связанному (и высокосимметричному – в центре октаэдра Ni₆) состоянию в кристалле, тогда как для Ni ФДУ имеет большую величину и является анизотропным: в КП Ni (октаэдры [NiC_2Mg_4]) ЗПКО разнотипных (Ni–C и Ni–Mg) связей различаются на порядок. Наблюдаемые минимальные среднеквадратичные смещения (U_{11}) никеля соответствуют направлениям наиболее сильных связей Ni–C.

Исходя из результатов рис.2, в рамках модели жесткой полосы можно ожидать, что введение в $MgCNi_3$ электронных или дырочных донаторов приведет к уменьшению или росту $N(E_F)$, соответственно. В первом случае следует ожидать ухудшения СП системы. Допирение дырками, способствуя росту $N(E_F)$ и являясь благоприятным фактором повышения T_c , может, однако, обусловить переход системы в магнитное состояние с утратой СП. Сходная структура спектра (наличие интенсивного прифермиевского пика металлических состояний, что в общем случае указывает на нестабильность немагнитного состояния системы) реализуется в сверхпроводящих БКИ и определяет формирование атомных магнитных моментов (ММ) [4].

Рис.3. Поверхности Ферми: 1 – MgCNi₃, 2 – InBNi₃, 3 – ScBNi₃, 4 – MgCCu₃

Мы провели расчеты систем, моделирующих указанные варианты модификации спектра. Эффект уменьшения заполнения энергетических зон рассмотрели как результат: наличия вакансий в С-подрешетке MgCNi₃ (рассчитан гипотетический перовскит Mg \square Ni₃ с “пустой” С-подрешеткой, здесь и далее \square – структурная вакансия) либо замещения Ni на Co (фаза MgCCo₃). Рост электронной концентрации моделировали на примере фазы MgCCu₃. Кроме того, в качестве возможных СП рассмотрены стабильные борсодержащие фазы, изоструктурные и изоэлектронные MgCNi₃: ScBNi₃ и InBNi₃ с параметрами решетки согласно [20].

Для “нестехиометрического” антиперовскита получено, что Mg \square Ni₃ находится в магнитном состоянии, ММ атомов составили $0.44\mu_B$ для атомов Ni и $-0.05\mu_B$ для атомов Mg. Аналогичный результат получен и для In \square Ni₃ – ММ для атомов Ni составил

$0.20\mu_B$ и $-0.01\mu_B$ для атомов In. Отсюда отмеченное в экспериментах [7] условие получения сверхпроводящего MgCNi₃ как фазы строго стехиометрического состава (при дефиците углерода MgC_{1-x}Ni₃ ($x > 0.1$) образцы утрачивают СП) определяется прежде всего особенностями его электронной структуры.

Основное состояние антиперовскита MgCCo₃ – магнитное, согласно расчетам, ММ атомов равны 0.36 для Co и $-0.05\mu_B$ для Mg. Для MgCCu₃ получено, что: а) рост электронной концентрации приводит к заполнению антисвязывающих зон, рис.1; б) в сравнении с MgCNi₃ более чем на порядок уменьшается $N(E_F)$, где доминируют делокализованные *sp*-состояния, рис.3. Полученные данные позволяют объяснить изменение сверхпроводящих свойств MgCNi₃ при допировании Ni-подрешетки 3d переходными металлами. Известно, что температура критического перехода для сплавов MgCNi_{3-x}M_x (M = Mn,

Рис.4. Зарядовые плотности в 1 – $MgCNi_3$ и 2 – $ScBNi_3$

Co, Cu) [13,14] падает: а) с ростом концентрации доноров; б) с уменьшением их атомного номера от Co к Mn . Исследование зависимости T_c от концентрации меди показало, что T_c систематически уменьшается в пределах $0 < x < 0.1$. Частичное замещение атомов никеля на кобальт приводит к исчезновению сверхпроводимости уже для $x = 0.03$. Эффект подавления сверхпроводимости усиливается для замещений Ni на Mn . Согласно данным расчета, природа наблюдаемого эффекта для различных доноров принципиально отличается. Для сплавов с замещенными Mn и Co причиной являются спиновые флуктуации, для Cu – рост общей электронной концентрации в системе и резкое уменьшение $N(E_F)$.

Результаты расчетов борсодержащих антиперовскитов $ScBNi_3$, $InBNi_3$ приведены на рис.1–4 и в таблице. При сравнении химической связи $MgCNi_3$ и $ScBNi_3$ (карты зарядовой плотности, рис.4) наблюдается более сильное ковалентное перекрывание связей Sc – B по сравнению с Mg – C , что полностью совпадает с данными, как это показано выше, полученными нами в рамках зонной теории сильной связи.

При переходе от $MgCNi_3$ к $ScBNi_3$ и $InBNi_3$ уровень Ферми сдвигается в высокоэнергетическую область $Ni3d$ пика и $N(E_F)$ существенно уменьшается. В этом ряду соединений одна из антисвязывающих зон понижается относительно уровня Ферми вдоль M - G направления и сдвигается вверх около точки X . В точке M наблюдается сдвиг зоны вверх, а в направлении Γ - R зона опускается ниже уровня Ферми. Эти изменения в зонной структуре приводят к модификации поверхности Ферми. Сфероподобные поверхности электронного типа около точки Γ претерпевают незначительные изменения, квазилинд-

рическая электронная поверхность вдоль границ ЗБ увеличивается в рассматриваемом ряду соединений. Дырочные сигарообразные фигуры вдоль направления Γ - R отсутствуют для $ScBNi_3$ и $InBNi_3$, а особенности лепесткового типа на гранях ЗБ с центром в точке X увеличиваются для $ScBNi_3$ и вырождаются в сфероид для $InBNi_3$. Таким образом, топология поверхности Ферми для данных соединений сохраняет основные особенности сверхпроводящего $MgCNi_3$. На рис.3 приведена также поверхность Ферми для $MgCCu_3$. Для этого соединения повышение уровня Ферми приводит к качественно другой топологии: около точек Γ и X отсутствуют поверхности как электронного, так и дырочного типов.

Эффект такого двойного замещения для данных изоэлектронных систем приводит к изменениям в электронной структуре, для которых при небольшом дырочном донировании можно ожидать сверхпроводящих свойств. Наиболее вероятные способы – введение B -вакансий (нестехиометрия по бору, тем более, что для $InBNi_3$ эта возможность известна из эксперимента [20]), либо частичная замена Sc на атомы I, II групп. Донирование Ni -подрешетки магнитными примесями (Co, Mn) может быть более проблематичным из-за магнитной неустойчивости.

Таким образом, в работе изучена зонная структура нового перовскитоподобного сверхпроводника – $MgCNi_3$. Сверхпроводящие свойства интерметаллида связаны с наличием интенсивного пика плотности $Ni3d$ -состояний вблизи уровня Ферми. Ухудшение СП характеристик $MgCNi_3$ при донировании дырками (для нестехиометрических по углероду) составов $MgC_{1-x}Ni_3$ или при легировании подрешетки никеля Co, Mn определяется переходом системы в магнит-

ное состояние. Ухудшение СП в результате электронного допирования (сплавы $MgCNi_{1-x}Cu_x$) обусловлено заполнением антисвязывающих состояний и резким понижением $N(E_F)$. Отмечена вероятность обнаружения сверхпроводимости в комплектных антиперовскитах $ScBNi_3$ и $InBNi_3$.

1. J. Nagamatsu, N. Nakagawa, T. Muranaka et al., *Nature* **410**, 63 (2001).
2. Н. И. Медведева, Ю. Е. Медведева, А. Л. Ивановский и др., *Письма в ЖЭТФ* **73**, 378 (2001).
3. V. A. Gasparov, N. S. Sidorov, and M. P. Kulakov, *cond-mat/0104323* (2001).
4. D. Kaczorowski, J. Klamut, and A. Zaleski, *cond-mat/0104479* (2001).
5. G. K. Strukova, V. F. Degtyareva, D. V. Shirkun et al., *cond-mat/0105293* (2001).
6. D. Young, P. Adams, J. Chan et al., *cond-mat/0104063* (2001).
7. T. He, Q. Huang, A. P. Ramirez et al., *cond-mat/0103296* (2001).
8. A. Tagaphder, R. Pandit, H. R. Krishnamurthy, and T. V. Ramakrishnan, *Int. J. Modern Phys. B* **10**, 863 (1998).
9. А. Л. Ивановский, *Успехи химии* **64**, 499 (1995).
10. А. Л. Ивановский, *Успехи химии* **67**, 493 (1998).
11. S. Y. Li, R. Fan, X. H. Chen et al., *cond-mat/0104554* (2001).
12. Z. Q. Mao, M. M. Rosario, R. Nelson et al., *cond-mat/0105280* (2001).
13. M. A. Hayward, M. K. Haas, T. He et al., *cond-mat/0104541* (2001).
14. Z. A. Ren, G. C. Che, S. L. Jia et al., *cond-mat/0105366* (2001).
15. M. Methfessel and M. Scheffler, *Physica B* **172**, 175 (1991).
16. S. Y. Savrasov, *Phys. Rev. B* **54**, 16470 (1996).
17. S. H. Vosko, L. Wilk, and M. Nusair, *Canadian J. Phys.* **58**, 1200 (1980).
18. Q. Huang, T. He, K. A. Regan et al., *cond-mat/0105240* (2001).
19. J. D. Singh and I. I. Mazin, *cond-mat/0105577* (2001).
20. Ю. Б. Кузьма, *Кристаллохимия боридов*, Львов, Вища школа, 1983.